

平成17年度 卒業研究報告書

粒子コードによる荷電粒子と電磁場
の相互作用の基礎的研究

秋田工業高等専門学校 電気工学科

研究者名 相場 亮人

指導教員名 山本 昌志

目次

| | |
|----------------------|----|
| 第1章 緒言 | 1 |
| 第2章 PIC法の理論 | 2 |
| 2.1 基礎方程式 | 2 |
| 2.1.1 マクスウェルの方程式 | 2 |
| 2.1.2 運動方程式 | 2 |
| 2.1.3 電磁場と荷電粒子の相互作用 | 3 |
| 2.2 離散化 | 3 |
| 2.2.1 空間の離散化 | 3 |
| 2.2.2 時間の離散化 | 4 |
| 2.2.3 マクスウェルの方程式の離散化 | 5 |
| 2.2.4 運動方程式の離散化 | 8 |
| 2.3 必要となる計算方法 | 9 |
| 2.3.1 粒子に作用する電磁場の計算 | 9 |
| 2.3.2 電流密度の計算 | 11 |
| 第3章 数値計算 | 13 |
| 3.1 プログラムの概要 | 13 |
| 第4章 計算結果 | 14 |
| 第5章 考察と今後の課題 | 16 |
| 第6章 結言 | 17 |
| 付録A 計算プログラム | 20 |

要旨

本研究では、粒子コード (Particle-in-Cell Code , PIC 法) を用いて 2 次元軸対称モデルにおける荷電粒子と電磁場の相互作用を解析するための基礎的研究とプログラムの作成を行った。粒子コードとは、主にマクスウェルの方程式と運動方程式を連立させて解いていくことで相互作用の計算を行う方法である。

粒子コードによって相互作用の計算を行うプログラムを作成したところ、おおよそ正しい解析結果を得ることが出来た。

第1章 緒言

加速器を設計する際に，荷電粒子の振る舞いとそれによって作られる電磁場を解析することは重要である．様々な制約条件のもとで要求される性能を引き出すために，通常は計算機シミュレーションをして最適化を行う．

本研究では，粒子コード（Particle-in-Cell Code，PIC法）を用いて2次元軸対称モデルにおける荷電粒子と電磁場の相互作用を解析するための基礎的研究とプログラムの作成を行った．粒子コードとは，電磁場の作用による粒子の運動の変化と，粒子の運動による電磁場の変化とを交互に繰り返し計算していくことで相互作用を計算する方法である．

第2章 PIC法の理論

2.1 基礎方程式

2.1.1 マクスウェルの方程式

電磁場の関係は，以下のマクスウェルの方程式によって述べられる．

$$\nabla \cdot \mathbf{E} = \frac{\rho}{\varepsilon} \quad (2.1)$$

$$\nabla \cdot \mathbf{H} = 0 \quad (2.2)$$

$$\nabla \times \mathbf{E} = -\mu \frac{\partial \mathbf{H}}{\partial t} \quad (2.3)$$

$$\nabla \times \mathbf{H} = \mathbf{j} + \varepsilon \frac{\partial \mathbf{E}}{\partial t} \quad (2.4)$$

ここで， \mathbf{E} は電場の強さ， \mathbf{H} は磁場の強さ， \mathbf{j} は電流密度を表す． ρ は電荷密度， ε は誘電率， μ は透磁率である．

これらのうちPIC法では(2.3)式と(2.4)式を用いて電磁場の変化を求める．ただし，この微分方程式を直接計算するのではなく，ストークスの定理を用いて変形した以下の積分形の方程式を計算することになる．

$$\oint \mathbf{E} \cdot d\mathbf{l} = -\mu \frac{d}{dt} \int_S \mathbf{H} \cdot \mathbf{n} dS \quad (2.5)$$

$$\oint \mathbf{H} \cdot d\mathbf{l} = \int_S \mathbf{j} \cdot \mathbf{n} dS + \varepsilon \frac{d}{dt} \int_S \mathbf{E} \cdot \mathbf{n} dS \quad (2.6)$$

また，他の(2.1)，(2.2)式については初期状態において満たされている必要がある．そうすれば，その後は自動的にこれらの式は満たされることになる．

2.1.2 運動方程式

PIC法では粒子の運動を解析するために運動方程式を用いるが，高エネルギーの粒子の運動を扱うので相対論的力学を用いる必要がある．運動方程式は

$$\frac{d\mathbf{p}}{dt} = \mathbf{F} \quad (2.7)$$

であり，ここで \mathbf{F} は力， \mathbf{p} は運動量であるが，運動量 \mathbf{p} は

$$\mathbf{p} = m\mathbf{v} = \gamma m_0 \beta c \quad (2.8)$$

となる． m は粒子の質量， m_0 は粒子の静止質量， v は粒子の速度， c は光速である． β は光速と粒子の質量の比， γ は相対論的因子で，それぞれ

$$\beta = \frac{v}{c} \quad (2.9)$$

$$\gamma = \frac{1}{\sqrt{1 - |\beta|^2}} \quad (2.10)$$

となる．

一方，力 F はローレンツ力のみが解析対象となる．電磁場中で電荷量 q をもつ質点が受ける力は

$$\mathbf{F} = q(\mathbf{E} + \mathbf{v} \times \mathbf{B}) \quad (2.11)$$

である．ここで B は磁束密度を表す．

以上のことから，解くべき運動方程式は

$$\frac{d\mathbf{p}}{dt} = q(\mathbf{E} + \mathbf{v} \times \mathbf{B}) \quad (2.12)$$

となる．ここで速度 v は運動量より，

$$\mathbf{v} = c\beta = \frac{c\mathbf{p}}{\sqrt{m_0^2 c^2 + \mathbf{p} \cdot \mathbf{p}}} \quad (2.13)$$

と求められる．

2.1.3 電磁場と荷電粒子の相互作用

(2.12) 式は，電磁場が荷電粒子の運動に与える作用を表していると言える．一方，粒子が電磁場を与える作用は電流密度の計算式

$$\mathbf{j} = nq\mathbf{v} \quad (2.14)$$

を用いて求めた電流を (2.6) 式に適用することで考慮される．ここで n は粒子の密度を表す．

以上より電磁場と粒子の運動を連立させることができ，これらの式が PIC 法において相互作用を計算するための基礎方程式となる．

2.2 離散化

2.2.1 空間の離散化

複雑な境界条件のもとで，その対象全体に対するマクスウェルの方程式を計算することは不可能に近い．そこで，PIC 法では図 2.1 のように解析対象を細かく領域 (メッシュ) に区切って空間の離散化を行い，各領域に電磁場を配置する．そして，各電磁場に対して (2.5) 式や (2.6) 式を適応させ，それらを連立させて解くことで電磁場を計算していく．

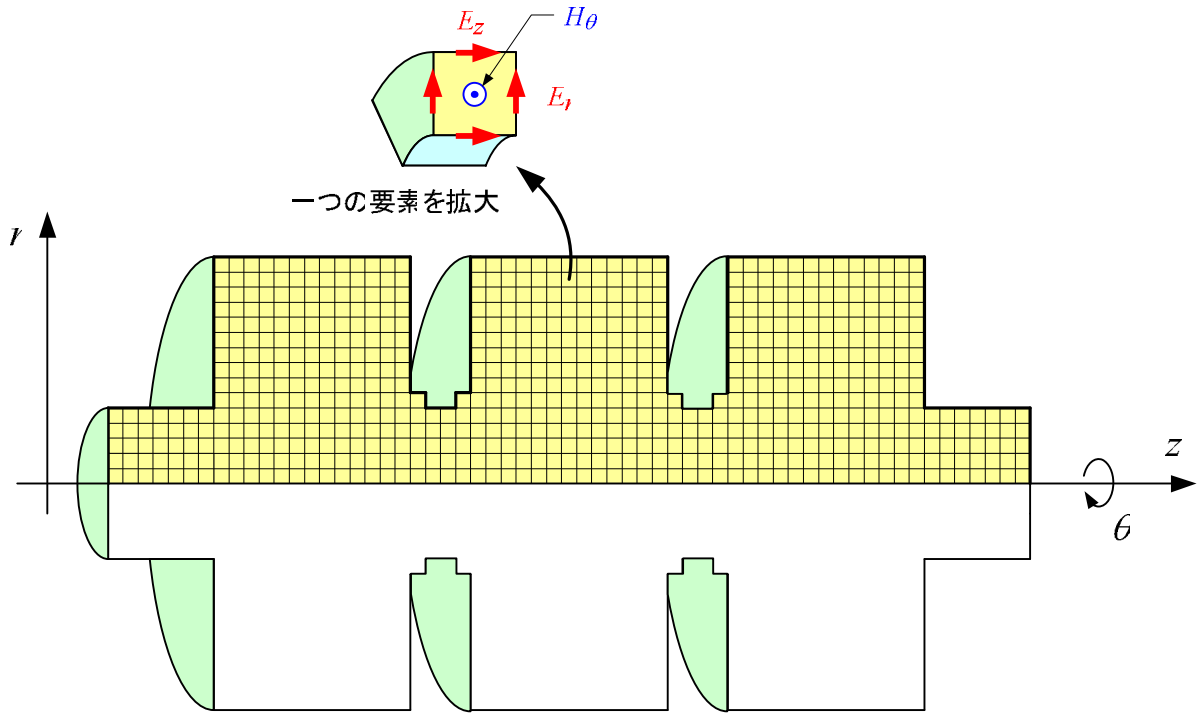


図 2.1: 空間の離散化

図 2.1 では rz 面において領域は一様な正方形で区切られているが、必ずしもこのように区切らなければならないということはない。ここでは計算を容易にするためにこのようにしている。

2.2.2 時間の離散化

PIC 法では空間だけでなく、時間も離散化する。離散化された時間軸上では、図 2.2 のように電場および粒子の位置と、磁場、電流および粒子の運動量は交互にずらして定義する。こうすることで、電磁場や粒子の運動の時間的変化が求められる。

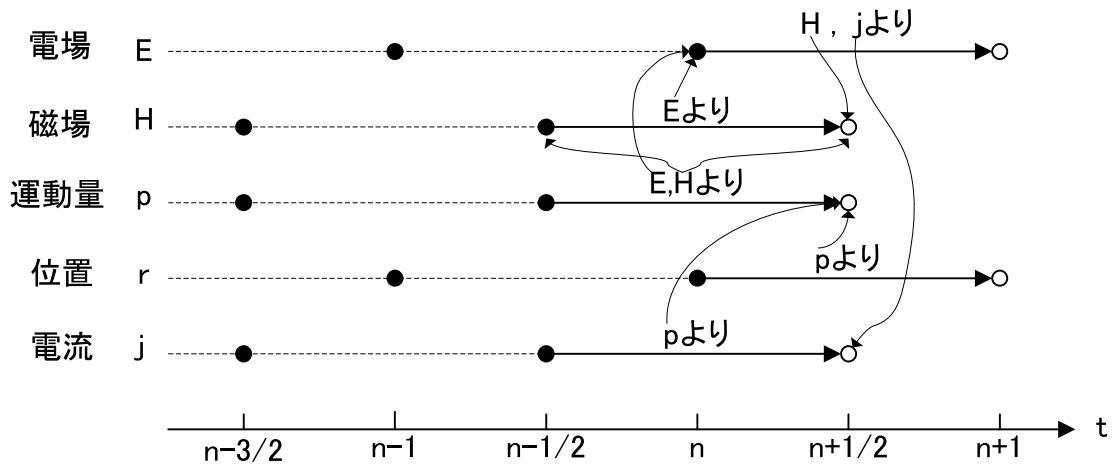


図 2.2: 時間の離散化

2.2.3 マクスウェルの方程式の離散化

(2.5) 式と (2.6) 式を離散化された空間，時間に適応させる．

本研究において解析対象の電磁場は TM_0 モードとするので，

$$E_\theta = 0 \quad H_r = 0 \quad H_z = 0 \quad (2.15)$$

となる．つまり，磁場は θ 方向，電場は z 方向と r 方向のみについて考えればよい．また，これらの電磁場は全て位置 (r, z) の関数となり， θ には依存しない．

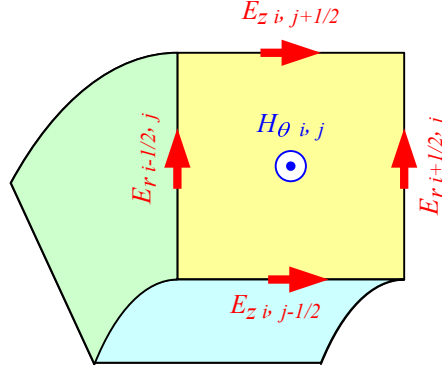


図 2.3: H_θ の計算

まず， θ 方向の磁場について考える．これは，(2.5) 式を図 2.3 の領域の積分路に対して適応することで求められる．(2.5) の左辺は，

$$\oint \mathbf{E} \cdot d\mathbf{l} \simeq \left[E_r^{n, i+1/2, j} - E_r^{n, i-1/2, j} \right] (r_{j+1/2} - r_{j-1/2}) + \left[E_z^{n, i, j-1/2} - E_z^{n, i, j+1/2} \right] (z_{i+1/2} - z_{i-1/2}) \quad (2.16)$$

と近似できる．右辺の近似は，

$$-\mu_0 \frac{d}{dt} \int_S \mathbf{H} \cdot \mathbf{n} dS \simeq -\frac{\mu_0}{t_{n+1/2} - t_{n-1/2}} \left[H_\theta^{n+1/2, i, j} - H_\theta^{n-1/2, i, j} \right] (z_{i+1/2} - z_{i-1/2}) (r_{j+1/2} - r_{j-1/2}) \quad (2.17)$$

となり，この両辺は等しいので，

$$\left[E_r^{n, i+1/2, j} - E_r^{n, i-1/2, j} \right] (r_{j+1/2} - r_{j-1/2}) + \left[E_z^{n, i, j-1/2} - E_z^{n, i, j+1/2} \right] (z_{i+1/2} - z_{i-1/2}) \simeq -\frac{\mu_0}{t_{n+1/2} - t_{n-1/2}} \left[H_\theta^{n+1/2, i, j} - H_\theta^{n-1/2, i, j} \right] (z_{i+1/2} - z_{i-1/2}) (r_{j+1/2} - r_{j-1/2}) \quad (2.18)$$

となる．これを整理すると，

$$H_\theta^{n+1/2, i, j} \simeq H_\theta^{n-1/2, i, j} + \frac{t_{n+1/2} - t_{n-1/2}}{\mu_0} \left[\frac{E_r^{n, i-1/2, j} - E_r^{n, i+1/2, j}}{z_{i+1/2} - z_{i-1/2}} + \frac{E_z^{n, i, j+1/2} - E_z^{n, i, j-1/2}}{r_{j+1/2} - r_{j-1/2}} \right] \quad (2.19)$$

が得られる．この式は， $t_{n+1/2}$ での磁場はそれ以前の情報があれば計算できることを示す．

ここで，領域の分割間隔を Δl ，時間間隔を Δt で一定とすると (2.19) 式は

$$H_{\theta i,j}^{n+1/2} \simeq H_{\theta i,j}^{n-1/2} + \frac{1}{\mu_0} \frac{\Delta t}{\Delta l} \left[E_r^{n, i-1/2,j} - E_r^{n, i+1/2,j} + E_z^{n, i,j+1/2} - E_z^{n, i,j-1/2} \right] \quad (2.20)$$

となる．

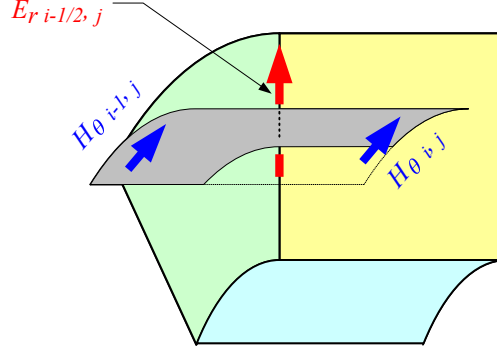


図 2.4: E_r の計算

次に， r 方向の電場について考える．これは，(2.6) 式を図 2.4 の積分路に対して適応することで求められる．(2.6) 式の左辺は，

$$\oint \mathbf{H} \cdot d\mathbf{l} \simeq \left[H_{\theta i-1,j}^{n+1/2} - H_{\theta i,j}^{n+1/2} \right] r_j \Delta \theta \quad (2.21)$$

と近似できる．右辺の近似は，

$$-\varepsilon_0 \frac{d}{dt} \int_S \mathbf{E} \cdot \mathbf{n} dS \simeq \frac{\varepsilon_0}{t_{n+1} - t_n} \left[E_r^{n+1, i-1/2,j} - E_r^{n, i-1/2,j} \right] (z_i - z_{i-1}) r_j \Delta \theta \quad (2.22)$$

となり，両辺は等しいので，

$$H_{\theta i-1,j}^{n+1/2} - H_{\theta i,j}^{n+1/2} \simeq \frac{\varepsilon_0}{t_{n+1} - t_n} \left[E_r^{n+1, i-1/2,j} - E_r^{n, i-1/2,j} \right] (z_i - z_{i-1}) \quad (2.23)$$

となる．これを整理すると，

$$E_r^{n+1, i-1/2,j} \simeq E_r^{n, i-1/2,j} + \frac{t_{n+1} - t_n}{\varepsilon_0 (z_i - z_{i-1})} \left[H_{\theta i-1,j}^{n+1/2} - H_{\theta i,j}^{n+1/2} \right] \quad (2.24)$$

となる．この式も先程と同様， t_{n+1} での電場はそれ以前の情報があれば計算できることを示している．

ここで，領域の分割間隔を Δl ，時間間隔を Δt で一定とすると (2.24) 式は

$$E_r^{n+1, i-1/2,j} \simeq E_r^{n, i-1/2,j} + \frac{1}{\varepsilon_0} \frac{\Delta t}{\Delta l} \left[H_{\theta i-1,j}^{n+1/2} - H_{\theta i,j}^{n+1/2} \right] \quad (2.25)$$

となる．

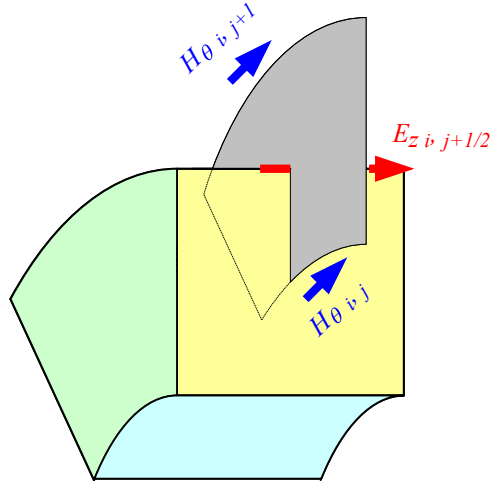


図 2.5: E_z の計算

最後に, z 方向の電場について考える. これは, r 方向と同様に (2.6) 式を図 2.5 の積分路に対して適応することで求められる. (2.6) 式の左辺は,

$$\oint \mathbf{H} \cdot d\mathbf{l} \simeq [H_{\theta, i, j+1}^{n+1/2} r_{j+1} - H_{\theta, i, j}^{n+1/2} r_j] \Delta\theta \quad (2.26)$$

と近似できる. 右辺の近似は,

$$-\varepsilon_0 \frac{d}{dt} \int_S \mathbf{E} \cdot \mathbf{n} dS \simeq \frac{\varepsilon_0}{t_{n+1} - t_n} [E_{z, i, j+1/2}^{n+1} - E_{z, i, j+1/2}^n] \frac{1}{2} (r_{j+1}^2 - r_j^2) \Delta\theta \quad (2.27)$$

となり, 両辺は等しいので,

$$H_{\theta, i, j+1}^{n+1/2} r_{j+1} - H_{\theta, i, j}^{n+1/2} r_j \simeq \frac{\varepsilon_0}{2(t_{n+1} - t_n)} [E_{z, i, j+1/2}^{n+1} - E_{z, i, j+1/2}^n] (r_{j+1}^2 - r_j^2) \quad (2.28)$$

となる. これを整理すると,

$$\begin{aligned} E_{z, i, j+1/2}^{n+1} &\simeq E_{z, i, j+1/2}^n + \frac{2(t_{n+1} - t_n)}{\varepsilon_0 (r_{j+1}^2 - r_j^2)} [H_{\theta, i, j+1}^{n+1/2} r_{j+1} - H_{\theta, i, j}^{n+1/2} r_j] \\ &\simeq E_{z, i, j+1/2}^n + \frac{2(t_{n+1} - t_n)}{\varepsilon_0 (r_{j+1} + r_j) (r_{j+1} - r_j)} [H_{\theta, i, j+1}^{n+1/2} r_{j+1} - H_{\theta, i, j}^{n+1/2} r_j] \end{aligned} \quad (2.29)$$

となる. この式も先程と同様, t_{n+1} での電場はそれ以前の情報があれば計算できることを示している.

ここで, 領域の分割間隔を Δl , 時間間隔を Δt で一定とすると (2.29) 式は

$$E_{z, i, j+1/2}^{n+1} \simeq E_{z, i, j+1/2}^n + \frac{2\Delta t}{\varepsilon_0 (2r_j + \Delta l) \Delta l} [H_{\theta, i, j+1}^{n+1/2} r_{j+1} - H_{\theta, i, j}^{n+1/2} r_j] \quad (2.30)$$

となる.

2.2.4 運動方程式の離散化

運動量方程式 (2.12) の離散化を行う．この式に (2.13) 式を代入し， $B = \mu_0 H$ と変換すると

$$\frac{d\mathbf{p}}{dt} = q \left(\mathbf{E} + \frac{c\mathbf{p}}{\sqrt{m_0^2 c^2 + \mathbf{p} \cdot \mathbf{p}}} \times \mu_0 \mathbf{H} \right) \quad (2.31)$$

となるが，この式には右辺にも運動量 \mathbf{p} が存在しているため，運動量の変化に現在の運動量関わってくることになる．そこでこれを一度に計算することはせず，以下のような順序で計算する．

1. $\Delta t/2$ の間，時刻 n の電場で粒子は加速

$$\mathbf{p}_1 = \mathbf{p}^{n-1/2} + q\mathbf{E}^n \frac{\Delta t}{2} \quad (2.32)$$

2. Δt の間，時刻 $n-1/2$ と $n+1/2$ の平均磁場で粒子は加速

$$\mathbf{p}_2 = \mathbf{p}_1 + \mu_0 q \frac{c\mathbf{p}_1}{\sqrt{m_0^2 c^2 + \mathbf{p}_1 \cdot \mathbf{p}_1}} \times \left[\frac{\mathbf{H}^{n-1/2} + \mathbf{H}^{n+1/2}}{2} \right] \Delta t \quad (2.33)$$

3. $\Delta t/2$ の間，時刻 n の電場で粒子は加速

$$\mathbf{p}^{n+1/2} = \mathbf{p}_2 + q\mathbf{E}^n \frac{\Delta t}{2} \quad (2.34)$$

こうすることで，運動量の変化を求められる．

求められた運動量から粒子の位置の変化を計算するわけであるが，これは

$$\frac{d\mathbf{r}}{dt} = \mathbf{v} \quad (2.35)$$

を用いればよい．(2.13) 式を用いて，

$$\mathbf{r}^{n+1} = \mathbf{r}^n + \frac{c\mathbf{p}^{n+1/2}}{\sqrt{m_0^2 c^2 + \mathbf{p}^{n+1/2} \cdot \mathbf{p}^{n+1/2}}} \Delta t \quad (2.36)$$

が得られる．

2.3 必要となる計算方法

2.3.1 粒子に作用する電磁場の計算

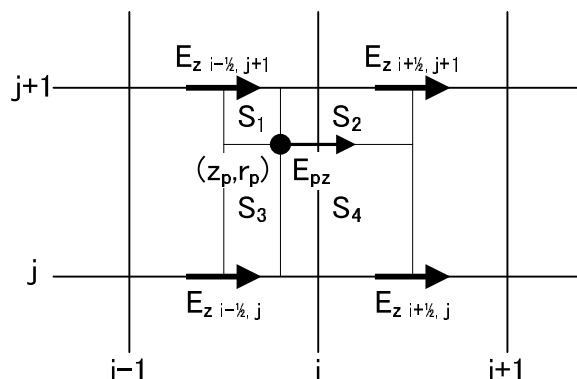


図 2.6: 粒子に作用する電場 E_{pz} の計算

図 2.6 のような位置に粒子が存在する場合の，粒子に作用する z 方向の電場 E_{pz} について考える．これを求めるには，周辺に配置された電場 $E_z^{i-1/2, j}$ ， $E_z^{i+1/2, j}$ ， $E_z^{i-1/2, j+1}$ ， $E_z^{i+1/2, j+1}$ の影響を粒子からの距離に応じた重み関数を用いて考える必要がある [1]．重み関数には，図 2.6 に示す長方形の面積 $S_1 \sim S_4$ を用いる．つまり，

$$E_{pz} = \frac{S_1}{\Delta l^2} E_z^{i+1/2, j} + \frac{S_2}{\Delta l^2} E_z^{i-1/2, j} + \frac{S_3}{\Delta l^2} E_z^{i+1/2, j+1} + \frac{S_4}{\Delta l^2} E_z^{i-1/2, j+1} \quad (2.37)$$

とする．ここで $S_1 \sim S_4$ は

$$S_1 = (z_p - z_{i-1/2}) (r_{j+1} - r_p)$$

$$S_2 = (z_{i+1/2} - z_p) (r_{j+1} - r_p)$$

$$S_3 = (z_p - z_{i-1/2}) (r_p - r_j)$$

$$S_4 = (z_{i+1/2} - z_p) (r_p - r_j)$$

である．

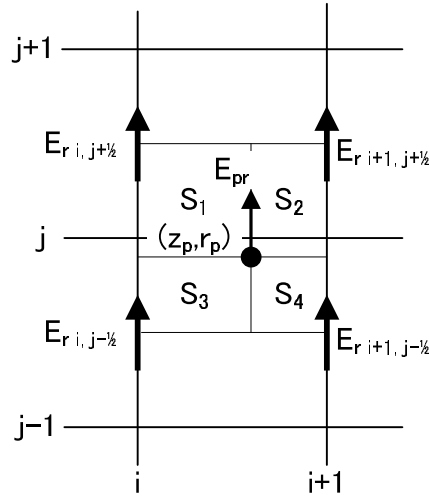


図 2.7: 粒子に作用する電場 E_{pr} の計算

r 方向の電界 E_{pr} を求める場合も同様である．図 2.7 において，

$$E_{pr} = \frac{S_1}{\Delta l^2} E_{r, i+1, j-1/2} + \frac{S_2}{\Delta l^2} E_{r, i, j-1/2} + \frac{S_3}{\Delta l^2} E_{r, i+1, j+1/2} + \frac{S_4}{\Delta l^2} E_{r, i, j+1/2} \quad (2.38)$$

と求められる．

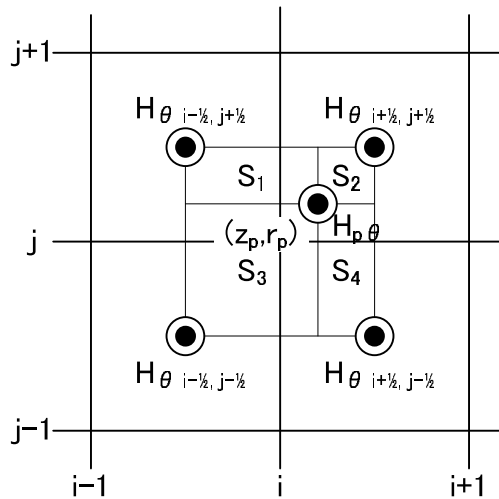


図 2.8: 粒子に作用する磁場 $H_{p\theta}$ の計算

磁場についてもやはり同様で，図 2.8 において粒子に作用する磁場 $H_{p\theta}$ は

$$H_{p\theta} = \frac{S_1}{\Delta l^2} H_{\theta, i+1/2, j-1/2} + \frac{S_2}{\Delta l^2} H_{\theta, i-1/2, j-1/2} + \frac{S_3}{\Delta l^2} H_{\theta, i+1/2, j+1/2} + \frac{S_4}{\Delta l^2} H_{\theta, i-1/2, j+1/2} \quad (2.39)$$

と求められる．

2.3.2 電流密度の計算

電流密度の計算には (2.14) 式が用いられるが，このとき電荷保存則

$$\nabla \cdot \mathbf{j} + \frac{d\rho}{dt} = 0 \quad (2.40)$$

が満たされている必要がある．この式は，電荷が突如発生，あるいは消滅することは無いということを示し，(2.1) 式と (2.4) 式から得られる．つまりこの式が満たされていれば，(2.1) 式が自動的に満たされることになる．

ここでは，(2.14) 式で求めた電流を重み関数を用いて周辺の各点に配分するという方法をとる．粒子が Δt の間に (z_1, r_1) から (z_2, r_2) へと移動したとして，計算手順を以下に示す [2]．ここで $|z_2 - z_1| < \Delta l$ かつ $|r_2 - r_1| < \Delta l$ とする．

1. $\frac{z_1}{\Delta l}$ ， $\frac{z_2}{\Delta l}$ ， $\frac{r_1}{\Delta l}$ ， $\frac{r_2}{\Delta l}$ の各値の小数点以下を切り捨てた整数値をそれぞれ i_1 ， i_2 ， j_1 ， j_2 とする．
2. relay point (z_r, r_r) を設定する．これは異なる領域間を粒子が移動する場合について考える際に役立つ．

$$z_r = \begin{cases} \frac{z_1 + z_2}{2} & (i_1 = i_2) \\ \max(i_1 \Delta l, i_2 \Delta l) & (i_1 \neq i_2) \end{cases} \quad (2.41)$$

$$r_r = \begin{cases} \frac{r_1 + r_2}{2} & (j_1 = j_2) \\ \max(j_1 \Delta l, j_2 \Delta l) & (j_1 \neq j_2) \end{cases} \quad (2.42)$$

とする．

3. $\frac{z_1}{\Delta l}$ ， $\frac{r_1}{\Delta l}$ を四捨五入した整数値をそれぞれ i ， j とする．
4. 粒子の速度として，

$$v_z = \frac{z_r - z_1}{\Delta t} \quad v_r = \frac{r_r - r_1}{\Delta t} \quad (2.43)$$

を求める．

5. 一次形状関数を計算する．

$$W_i^{(1)} = \frac{z_1 + z_r}{2\Delta l} - i \quad W_j^{(1)} = \frac{r_1 + r_r}{2\Delta l} - j \quad (2.44)$$

6. モーメントを計算する．ここで， q は θ 方向一周分の電荷量である．

$$\begin{aligned} F_{z1} &= qv_z \left(\frac{1}{2} - W_i^{(1)} \right) & , F_{z2} &= qv_z \left(\frac{1}{2} + W_i^{(1)} \right) \\ F_{r1} &= qv_r \left(\frac{1}{2} - W_j^{(1)} \right) & , F_{r2} &= qv_r \left(\frac{1}{2} + W_j^{(1)} \right) \end{aligned} \quad (2.45)$$

7. 二次形状関数を計算する．

$$\begin{aligned} W_{i-1}^{(2)} &= \frac{1}{2} \left(\frac{1}{2} - W_i^{(1)} \right)^2 & , W_i^{(2)} &= \frac{3}{4} - \left(W_i^{(1)} \right)^2 & , W_{i+1}^{(2)} &= \frac{1}{2} \left(\frac{1}{2} + W_i^{(1)} \right)^2 \\ W_{j-1}^{(2)} &= \frac{1}{2} \left(\frac{1}{2} - W_j^{(1)} \right)^2 & , W_j^{(2)} &= \frac{3}{4} - \left(W_j^{(1)} \right)^2 & , W_{j+1}^{(2)} &= \frac{1}{2} \left(\frac{1}{2} + W_j^{(1)} \right)^2 \end{aligned} \quad (2.46)$$

8. 各電流値を計算する .

$$\begin{aligned}
 j_{z \ i-1/2,j-1} &= \frac{1}{2(j-1)\pi\Delta l^3} F_{z1} W_{j-1}^{(2)} \\
 j_{z \ i+1/2,j-1} &= \frac{1}{2(j-1)\pi\Delta l^3} F_{z2} W_{j-1}^{(2)} \\
 j_{z \ i-1/2,j} &= \frac{1}{2j\pi\Delta l^3} F_{z1} W_j^{(2)} \\
 j_{z \ i+1/2,j} &= \frac{1}{2j\pi\Delta l^3} F_{z2} W_j^{(2)} \\
 j_{z \ i-1/2,j+1} &= \frac{1}{2(j+1)\pi\Delta l^3} F_{z1} W_{j+1}^{(2)} \\
 j_{z \ i+1/2,j+1} &= \frac{1}{2(j+1)\pi\Delta l^3} F_{z2} W_{j+1}^{(2)} \\
 j_{r \ i-1,j-1/2} &= \frac{1}{2(j-1)\pi\Delta l^3} F_{r1} W_{i-1}^{(2)} \\
 j_{r \ i-1,j+1/2} &= \frac{1}{2(j-1)\pi\Delta l^3} F_{r2} W_{i-1}^{(2)} \\
 j_{r \ i,j-1/2} &= \frac{1}{2j\pi\Delta l^3} F_{r1} W_i^{(2)} \\
 j_{r \ i,j+1/2} &= \frac{1}{2j\pi\Delta l^3} F_{r2} W_i^{(2)} \\
 j_{r \ i+1,j-1/2} &= \frac{1}{2(j+1)\pi\Delta l^3} F_{r1} W_{i+1}^{(2)} \\
 j_{r \ i+1,j+1/2} &= \frac{1}{2(j+1)\pi\Delta l^3} F_{r2} W_{i+1}^{(2)}
 \end{aligned} \tag{2.47}$$

9. z_1, z_r, r_1, r_r をそれぞれ z_r, z_2, r_r, r_2 に変えて 3. ~ 8. を同様に計算する .

この電流密度の計算方法は基本的に電荷保存則を満たすが、導体境界周辺の電流密度を計算する場合には影像電荷の考え方が必要となる . つまり、図 2.9 のように大きさが同じで符号が逆の荷電粒子が境界の向こう側で境界線に対して線対称の運動をしていると考え、その影響を足し合わせるのである .

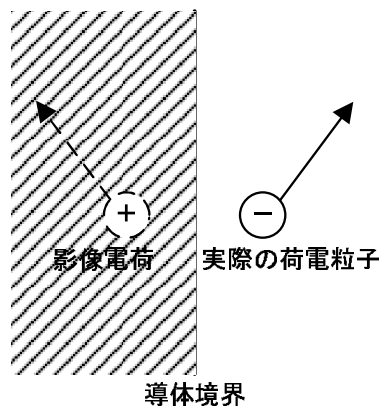


図 2.9: 影像電荷

第3章 数値計算

3.1 プログラムの概要

粒子コードを用いて2次元軸対称モデルの加速管内部の電磁場および粒子の運動を計算するプログラムを作成した。使用した言語はC++である。

プログラムは、以下のような順番で計算を行う。

1. 粒子の初期状態(位置,運動量)を設定する。
2. ポアソン方程式を解いてメッシュの各頂点での電位を計算し,そこから各電場の強さ E を求める。
3. 電場 E_z^n, E_r^n から,磁場 $H_\theta^{n+1/2}$ を(2.20)式を用いて計算する。
4. 電場 E_z^n, E_r^n と磁場 $H_\theta^{n-1/2}, H_\theta^{n+1/2}$ から,粒子の運動量 $p_z^{n+1/2}, p_r^{n+1/2}$ を(2.32)~(2.34)式を用いて計算する。
5. 運動量 $p_z^{n+1/2}, p_r^{n+1/2}$ から,粒子の位置 z^{n+1}, r^{n+1} を(2.36)式を用いて計算する。
6. 運動量 $p_z^{n+1/2}, p_r^{n+1/2}$ から,電流密度 $j_z^{n+1/2}, j_r^{n+1/2}$ を2.3.2節で述べた方法を用いて計算する。
7. 磁場 $H_\theta^{n+1/2}$ と電流密度 $j_z^{n+1/2}, j_r^{n+1/2}$ から,電場 E_z^{n+1}, E_r^{n+1} を(2.25),(2.30)式を用いて計算する。
8. n を増やし,3.~7.を繰り返し計算していく。

詳しい内容については,付録Aに示す。

第4章 計算結果

今回は、図 4.1 に示す 2 次元軸対称モデルの加速管中を電子ビームが通過したときの電磁場について解析を行った。

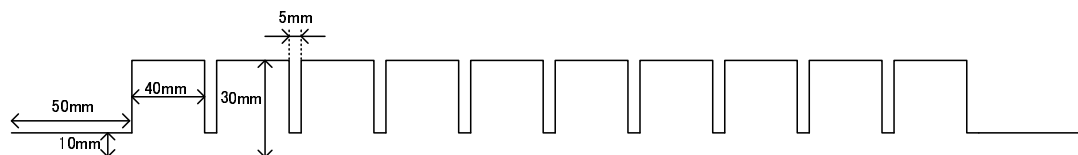


図 4.1: 解析するモデル

電子ビームはパンチ・ビーム(電子の塊)で、そのビーム長は $10.0[mm]$ 、ビーム半径は $2.5[mm]$ 、エネルギーは $100[MeV]$ である。

左右端には吸収境界条件、それ以外には完全導体境界条件を適用した。

図 4.2 に磁場の変化の様子を、図 4.3 に電場の変化の様子を示す。

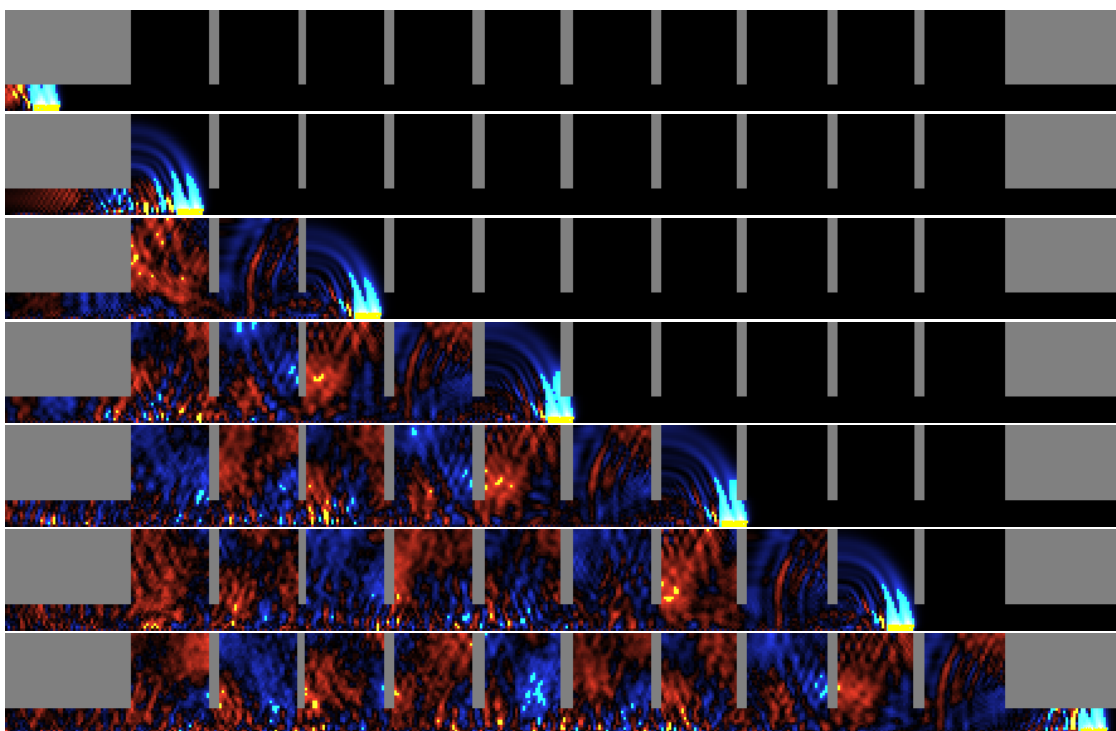


図 4.2: 磁場解析結果

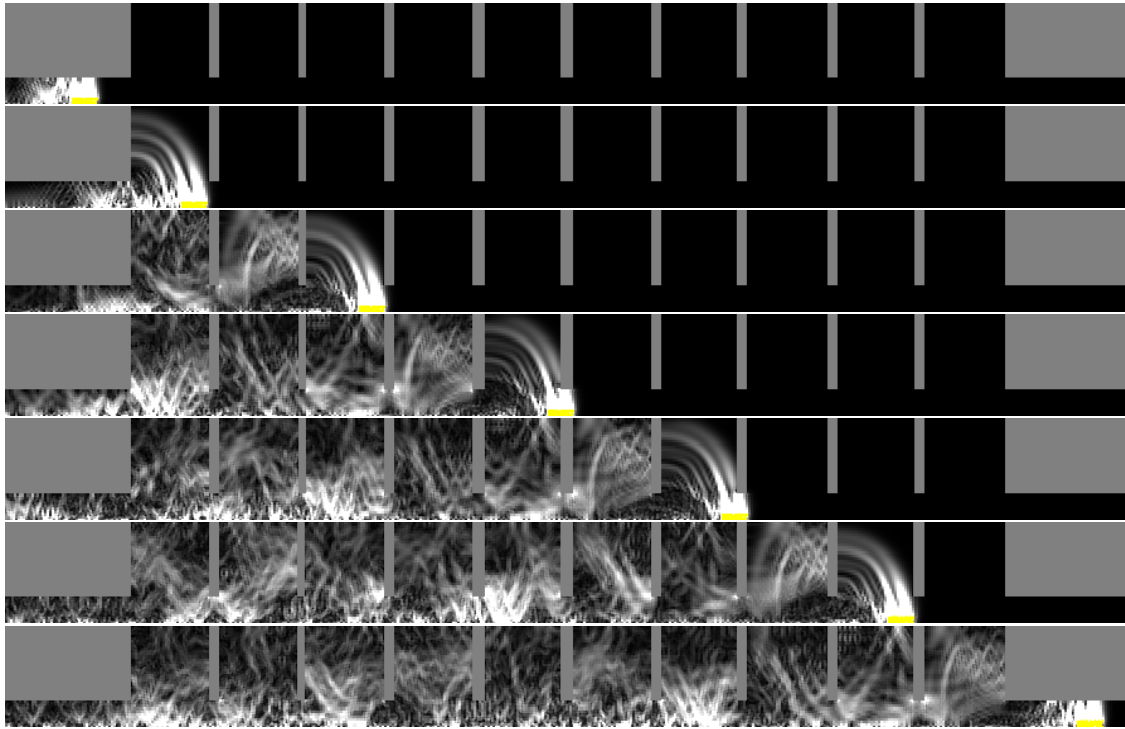


圖 4.3: 電場解析結果

第5章 考察と今後の課題

結果からは、電子ビームによって加速管内に電磁場が誘起されている様子が良く見て取れる。電子の進行方向に電磁場が現れないのは、電子がほぼ光速で運動しているためである。また、導体面では電磁場の波が反射していることが見て取れた。

この電磁場の推移の様子は、加速器に関する文献 [3] の図と良く似ていた。このことから、このプログラムによるシミュレーション結果に大きな間違いは無いと考えている。詳しい計算精度の検証は今後の課題である。

今回の計算では一次近似の式を用いたが、精度を上げるためにはより高次の計算式を用いる必要がある。また、曲線を含むような複雑な形状について解析を行う場合には、今回のような正方形で領域を分割する方法では誤差が大きくなってしまう。これを改善するためには、より形状精度の高い三角形による分割を行う必要がある。

作成したプログラムは各種パラメータを変える際にプログラムコードを直接書き換えなければならない仕様になっていて不便なので、GUIによる入出力インターフェイスを設けることも今後の課題である。

第6章 結言

- 本研究では，粒子コードを用いて2次元軸対称モデルの電磁場と荷電粒子の相互作用を解析するために式の変形などを行った．
- 実際に作成したプログラムでは，おおよそ正しい結果を得ることに成功した．詳しい計算精度の検証は今後の課題である．
- プログラムの改善点として，三角形分割，より高次の計算式の使用，GUIへの対応，などが挙げられる．

謝辞

ご指導して下さいました担当教官の山本昌志先生，様々な面でご協力していただいた研究室の皆さんに感謝の意を表します．

関連図書

- [1] 川田 重夫・松本 正己 共著 『電磁気学-電磁気現象のコンピュータシミュレーション入門-』シミュレーション物理学 (1)(近代科学社,1993)
- [2] Takayuki Umeda, Yoshiharu Omura, and Hiroshi Matsumoto. *Charge conservation methods for computing current densities in electromagnetic particle-in-cell simulations*. 2005.
- [3] 竹田 誠之 他 著 『OHO'90 高エネルギー加速器セミナー』 (1990)

付録A 計算プログラム

リスト A.1: 作成した電場解析のプログラム

```
1 #include<iostream>
2 #include<math.h>
3 #include<stdlib.h>
4 #include<time.h>
5 #include<GL/glut.h>
6
7 #define I 1000
8 #define P 1000000
9
10 using namespace std;
11
12 void display (void); //表示
13 void data_in (void); //初期値設定
14 void init_efield (void); //初期電界計算
15 void sor (void); //SOR法
16 void mfield (void); //磁場計算
17 void velocity (void); //速度計算
18 void position (void); //座標計算
19 void current (void); //電流計算
20 void efield (void); //電場計算
21 void emission (void); //電子放出
22 double color (double data); //色の指定
23
24 double ez[I][I]; //z方向の電場
25 double er[I][I]; //r方向の電場
26 double ht[I][I]; //t(シータ)方向の磁場
27
28 double pzp[P]; //粒子のz方向運動量
29 double prp[P]; //粒子のr方向運動量
30 double zp[P]; //粒子のz座標
31 double rp[P]; //粒子のr座標
32 double qp[P]; //粒子一周分の電荷
33
34 double jz[I][I]; //z方向の電流
35 double jr[I][I]; //r方向の電流
36 double phi[I][I]; //静電ポテンシャル
37 double hta[I][I]; //磁場平均
38
39 double zpb[P]; //前に粒子がいた位置(z座標)
40 double rpb[P]; //前に粒子がいた位置(r座標)
41
42 int f[I][I]; //!=1なら管外および境界
43
44 double dl; //メッシュ間隔
45 double dt; //時間間隔
46
47 int npt; //総粒子数
48 int nz; //z方向の格子点数
```

```

49 int nr; // r方向の格子点数
50 int it_end; //最大計算回数
51 double z_max; //z最大値
52 double r_max; //r最大値
53 double q; //粒子1個の電荷量
54 double Q; //粒子一周分の電荷量(最も外側での)
55 double m0; //粒子の静止質量
56 double c; //光速
57 double myu; //透磁率
58 double eps; //誘電率
59 double v0; //管壁の電位
60 double vb; //ビームの加速電圧
61 int p_emission; //dt秒間に放出する粒子数
62 int flag; //!=1ならば、これ以上総粒子数は増えない
63 double lb; //ビーム長さ
64 double rb; //ビーム半径
65 int n_over; //通過した粒子の数
66 int nd; //減衰領域数
67 double ld; //減衰領域長さ
68
69 int main(int argc, char* argv[])
70 {
71     data_in();
72
73     init_efield();
74
75     glutInit(&argc, argv);
76     glutInitDisplayMode(GLUT_RGBA | GLUT_DOUBLE);
77     glutInitWindowSize(890, 80);
78     glutCreateWindow(argv[0]);
79     glutDisplayFunc(display);
80     glutMainLoop();
81
82     return 0;
83 }
84
85 /*表示*/
86 void display ()
87 {
88     int it; //計算回数
89     int i, j;
90     double z, r;
91
92     for (it=1; it<=it_end; it++){
93
94         mfield();
95
96         velocity();
97
98         position();
99
100        current();
101
102        efield();
103
104        if (((it-1)%10)==0){
105            glClear(GL_COLOR_BUFFER_BIT);
106
107            for (i=nd+1; i<=nz+nd-1; i++){
108                for (j=1; j<=nr-1; j++){
109                    /*電界の強さ表示*/

```



```

110     if (f[i][j]==1&&f[i+1][j]==1&&f[i][j+1]==1&&f[i+1][j+1]==1){
111         glColor3d(0.5,0.5,0.5);
112         glBegin(GL_QUADS);
113         glVertex2d((i-nd-1)*dl*2.0/z_max-1.0,(j-1)*dl*2.0/r_max-1.0);
114         glVertex2d((i-nd)*dl*2.0/z_max-1.0,(j-1)*dl*2.0/r_max-1.0);
115         glVertex2d((i-nd)*dl*2.0/z_max-1.0,j*dl*2.0/r_max-1.0);
116         glVertex2d((i-nd-1)*dl*2.0/z_max-1.0,j*dl*2.0/r_max-1.0);
117         glEnd();
118     } else {
119         glColor3d(color(sqrt(pow(ez[i][j],2)+pow(er[i][j],2)))
120                 ,color(sqrt(pow(ez[i][j],2)+pow(er[i][j],2)))
121                 ,color(sqrt(pow(ez[i][j],2)+pow(er[i][j],2))));
122         glBegin(GL_QUADS);
123         glVertex2d((i-nd-1)*dl*2.0/z_max-1.0,(j-1)*dl*2.0/r_max-1.0);
124         glVertex2d((i-nd-0.5)*dl*2.0/z_max-1.0,(j-1)*dl*2.0/r_max-1.0);
125         glVertex2d((i-nd-0.5)*dl*2.0/z_max-1.0,(j-0.5)*dl*2.0/r_max-1.0);
126         glVertex2d((i-nd-1)*dl*2.0/z_max-1.0,(j-0.5)*dl*2.0/r_max-1.0);
127         glEnd();
128
129         glColor3d(color(sqrt(pow(ez[i][j],2)+pow(er[i+1][j],2)))
130                 ,color(sqrt(pow(ez[i][j],2)+pow(er[i+1][j],2)))
131                 ,color(sqrt(pow(ez[i][j],2)+pow(er[i+1][j],2))));
132         glBegin(GL_QUADS);
133         glVertex2d((i-nd-0.5)*dl*2.0/z_max-1.0,(j-1)*dl*2.0/r_max-1.0);
134         glVertex2d((i-nd)*dl*2.0/z_max-1.0,(j-1)*dl*2.0/r_max-1.0);
135         glVertex2d((i-nd)*dl*2.0/z_max-1.0,(j-0.5)*dl*2.0/r_max-1.0);
136         glVertex2d((i-nd-0.5)*dl*2.0/z_max-1.0,(j-0.5)*dl*2.0/r_max-1.0);
137         glEnd();
138
139         glColor3d(color(sqrt(pow(ez[i][j+1],2)+pow(er[i][j],2)))
140                 ,color(sqrt(pow(ez[i][j+1],2)+pow(er[i][j],2)))
141                 ,color(sqrt(pow(ez[i][j+1],2)+pow(er[i][j],2))));
142         glBegin(GL_QUADS);
143         glVertex2d((i-nd-1)*dl*2.0/z_max-1.0,(j-0.5)*dl*2.0/r_max-1.0);
144         glVertex2d((i-nd-0.5)*dl*2.0/z_max-1.0,(j-0.5)*dl*2.0/r_max-1.0);
145         glVertex2d((i-nd-0.5)*dl*2.0/z_max-1.0,j*dl*2.0/r_max-1.0);
146         glVertex2d((i-nd-1)*dl*2.0/z_max-1.0,j*dl*2.0/r_max-1.0);
147         glEnd();
148
149         glColor3d(color(sqrt(pow(ez[i][j+1],2)+pow(er[i+1][j],2)))
150                 ,color(sqrt(pow(ez[i][j+1],2)+pow(er[i+1][j],2)))
151                 ,color(sqrt(pow(ez[i][j+1],2)+pow(er[i+1][j],2))));
152         glBegin(GL_QUADS);
153         glVertex2d((i-nd-0.5)*dl*2.0/z_max-1.0,(j-0.5)*dl*2.0/r_max-1.0);
154         glVertex2d((i-nd)*dl*2.0/z_max-1.0,(j-0.5)*dl*2.0/r_max-1.0);
155         glVertex2d((i-nd)*dl*2.0/z_max-1.0,j*dl*2.0/r_max-1.0);
156         glVertex2d((i-nd-0.5)*dl*2.0/z_max-1.0,j*dl*2.0/r_max-1.0);
157         glEnd();
158     }
159 }
160 }
161 /*粒子の位置表示*/
162 glColor3d(1.0,1.0,0.0);
163 for(i=1;i<=npt;i++){
164     glBegin(GL_POINTS);
165     z=(zp[i]-ld)*2.0/z_max-1.0;
166     r=rp[i]*2.0/r_max-1.0;
167     glVertex2d(z,r);
168     glEnd();
169 }
170 glutSwapBuffers();

```

```

171     }
172     if (flag==0){
173         emission ();
174     }
175 }
176
177 return ;
178 }
179
180 /*色指定*/
181 double color(double data)
182 {
183     data=data/2000;
184     if (data > 1.0){
185         data=1.0;
186     }else if (data < 0.0){
187         data=0.0;
188     }
189     return data;
190 }
191
192 /*初期値設定*/
193 void data_in (void)
194 {
195     /*定数*/
196     q=-1.602e-19; //粒子1個の電荷量
197     Q=-1.602e-12; //粒子一周分の電荷量(一番外側での)
198     m0=9.1093897e-31; //粒子の静止質量
199     c=299792458; //光速
200     myu=1.25663706e-6; //透磁率
201     eps=8.854187816e-12; //誘電率
202
203     dl=1.0e-3; //メッシュ間隔
204     dt=5.0e-13; //時間間隔
205
206     npt=0; //総粒子数(最初は0に設定)
207     nz=445; //z方向のメッシュ数
208     nr=40; //r方向のメッシュ数
209
210     it_end=10000001; //最大計算回数
211
212     z_max=dl*(nz-1.0); //z最大値
213     r_max=dl*(nr-1.0); //r最大値
214
215     v0=0.0; //管壁の電位
216
217     vb=100.0e6;
218     lb=10.0e-3;
219     rb=2.5e-3;
220
221     p_emission=5; //dt秒間に放出する粒子数
222     flag=0;
223     n_over=0;
224
225     nd=50;
226     ld=nd*dl;
227
228     /*各値を0に初期化*/
229     int i, j;
230     for (i=0; i<=nz+2*nd+1; i++){
231         for (j=0; j<=nr+1; j++){

```

```

232     ez [ i ] [ j ] = 0.0;
233     er [ i ] [ j ] = 0.0;
234     ht [ i ] [ j ] = 0.0;
235     jz [ i ] [ j ] = 0.0;
236     jr [ i ] [ j ] = 0.0;
237     phi [ i ] [ j ] = 0.0;
238     hta [ i ] [ j ] = 0.0;
239     f [ i ] [ j ] = 0;
240 }
241 }
242
243 /*粒子の初期設定*/
244 double rr , zz ;
245 for ( i = 1 ; i <= ( P - 1 ) ; i ++ ) {
246     zp [ i ] = ld - nd * dl / 5 ;
247     rr = rand () % 1001 ;
248     rp [ i ] = rr / 1000.0 * rb ;
249
250     pzp [ i ] = sqrt ( fabs ( 2 * m0 * q * vb ) ) ;
251     prp [ i ] = 0.0 ;
252
253     qp [ i ] = Q * rp [ i ] / r_max + q ;
254 }
255
256 return ;
257 }
258
259 /*初期電界計算*/
260 void init_efield ( void )
261 {
262     int i , j ;
263
264     /*境界条件*/
265     for ( i = 1 ; i <= nz + 2 * nd ; i ++ ) {
266         phi [ i ] [ nr ] = v0 ;
267         f [ i ] [ nr ] = 1 ;
268     }
269     for ( i = 1 ; i <= nz + 2 * nd ; i ++ ) {
270         for ( j = 1 ; j <= nr ; j ++ ) {
271             if ( ( ( j - 1 ) * dl >= 10.0e-3 ) &&
272                 ( ( i - 1 ) * dl <= 50.0e-3 + ld ||
273                 ( 80.0e-3 + ld <= ( i - 1 ) * dl && ( i - 1 ) * dl <= 85.0e-3 + ld ) ||
274                 ( 115.0e-3 + ld <= ( i - 1 ) * dl && ( i - 1 ) * dl <= 120.0e-3 + ld ) ||
275                 ( 150.0e-3 + ld <= ( i - 1 ) * dl && ( i - 1 ) * dl <= 155.0e-3 + ld ) ||
276                 ( 185.0e-3 + ld <= ( i - 1 ) * dl && ( i - 1 ) * dl <= 190.0e-3 + ld ) ||
277                 ( 220.0e-3 + ld <= ( i - 1 ) * dl && ( i - 1 ) * dl <= 225.0e-3 + ld ) ||
278                 ( 255.0e-3 + ld <= ( i - 1 ) * dl && ( i - 1 ) * dl <= 260.0e-3 + ld ) ||
279                 ( 290.0e-3 + ld <= ( i - 1 ) * dl && ( i - 1 ) * dl <= 295.0e-3 + ld ) ||
280                 ( 325.0e-3 + ld <= ( i - 1 ) * dl && ( i - 1 ) * dl <= 330.0e-3 + ld ) ||
281                 ( 360.0e-3 + ld <= ( i - 1 ) * dl && ( i - 1 ) * dl <= 365.0e-3 + ld ) ||
282                 ( 395.0e-3 + ld <= ( i - 1 ) * dl ) ) ) {
283                 phi [ i ] [ j ] = v0 ;
284                 f [ i ] [ j ] = 1 ;
285             }
286         }
287     }
288
289     sor () ; //SOR法
290
291     /*電界 = 電位差 / 距離*/
292     for ( i = 1 ; i <= nz + 2 * nd - 1 ; i ++ ) {

```

```

293     for (j=1;j<=nr;j++){
294         ez[i][j]=(phi[i][j]-phi[i+1][j])/dl;
295     }
296 }
297 for (i=1;i<=nz+2*nd;i++){
298     for (j=1;j<=nr-1;j++){
299         er[i][j]=(phi[i][j]-phi[i][j+1])/dl;
300     }
301 }
302
303 return;
304 }
305
306 /*SOR法*/
307 void sor (void)
308 {
309     double phi1,phi2,omega;
310     double sa,total;
311     double e;
312     int i,j,order;
313
314     omega=1.9;
315     e=1.0e-15; //誤差
316     order=0;//0:正順 1:逆順
317
318     while(1){
319         sa=0.0;
320         total=0.0;
321         if (order==0){
322             for (i=1;i<=nz+2*nd;i++){
323                 for (j=1;j<=nr;j++){
324                     if (f[i][j]==0){
325                         if (j==1){
326                             phi1=0.25*(2*phi[i][2]+phi[i-1][1]+phi[i+1][1]);
327                         }else{
328                             phi1=0.25*(phi[i][j-1]+phi[i][j+1]+phi[i-1][j]+phi[i+1][j]);
329                         }
330                         phi2=phi[i][j]+omega*(phi1-phi[i][j]);
331                         sa+=fabs(phi2-phi[i][j]);
332                         total+=fabs(phi2);
333                         phi[i][j]=phi2;
334                     }
335                 }
336             }
337             if (total==0){
338                 total=e;
339             }
340             if (sa/total<e){
341                 break;
342             }
343             order=1;
344         }else{
345             for (i=nz+2*nd;i>=1;i--){
346                 for (j=nr;j>=1;j--){
347                     if (f[i][j]==0){
348                         if (j==1){
349                             phi1=0.25*(2*phi[i][2]+phi[i-1][1]+phi[i+1][1]);
350                         }else{
351                             phi1=0.25*(phi[i][j-1]+phi[i][j+1]+phi[i-1][j]+phi[i+1][j]);
352                         }
353                         phi2=phi[i][j]+omega*(phi1-phi[i][j]);

```

```

354         sa+=fabs(phi2-phi[i][j]);
355         total+=fabs(phi2);
356         phi[i][j]=phi2;
357     }
358 }
359 }
360 if(total==0){
361     total=e;
362 }
363 if(sa/total<e){
364     break;
365 }
366 order=0;
367 }
368 }
369 }
370 return;
371 }
372 }
373 /*磁場計算*/
374 void mfield (void)
375 {
376     int i, j;
377     for(i=1; i<=nz+2*nd-1; i++){
378         for(j=1; j<=nr-1; j++){
379             hta[i][j]=ht[i][j]
380                 +(er[i][j]-er[i+1][j]+ez[i][j+1]-ez[i][j])/(2.0*d1*myu)*dt;
381             ht[i][j]+=(er[i][j]-er[i+1][j]+ez[i][j+1]-ez[i][j])/(d1*myu)*dt;
382         }
383     }
384 }
385 return;
386 }
387 }
388 /*速度計算*/
389 void velocity (void)
390 {
391     int n, z, r, z-, r-;
392     double z1, z2, r1, r2, z_1, z_2, r_1, r_2;
393     double s1, s2, s3, s4;
394     double epz, epr, hpt, plz, plr, p2z, p2r;
395 }
396 for(n=1; n<=npt; n++){
397     /* z方向の電界計算 */
398     z_=(int)(zp[n]/d1+0.5);
399     z_1=(double)z_*d1;
400     z_2=z_1+d1; //z_1とz_2の間に粒子が存在
401     r=(int)(rp[n]/d1);
402     r1=(double)r*d1;
403     r2=r1+d1; //y1とy2の間に粒子が存在
404     s1=(zp[n]-(z_1-0.5*d1))*(rp[n]-r1);
405     s2=((z_2-0.5*d1)-zp[n])*(rp[n]-r1);
406     s3=(zp[n]-(z_1-0.5*d1))*(r2-rp[n]);
407     s4=((z_2-0.5*d1)-zp[n])*(r2-rp[n]);
408     if(z_==0){
409         epz=((s4+s3)*ez[1][r+1]+(s2+s1)*ez[1][r+2])/(d1*d1);
410     } else {
411         epz=(s4*ez[z_][r+1]+s3*ez[z_+1][r+1]
412             +s2*ez[z_][r+2]+s1*ez[z_+1][r+2])/(d1*d1);
413     }
414 }

```

```

415
416 /* r 方向の電界計算 */
417 z=(int)(zp[n]/dl);
418 z1=(double)z*dl;
419 z2=z1+dl;
420 r_=(int)(rp[n]/dl+0.5);
421 r_1=(double)r_*dl;
422 r_2=r_1+dl;
423 s1=(zp[n]-z1)*(rp[n]-(r_1-0.5*dl));
424 s2=(z2-zp[n])*(rp[n]-(r_1-0.5*dl));
425 s3=(zp[n]-z1)*((r_2-0.5*dl)-rp[n]);
426 s4=(z2-zp[n])*((r_2-0.5*dl)-rp[n]);
427 if(r_==0){
428     epr=((s2-s4)*er[z+1][1]+(s1-s3)*er[z+2][1])/(dl*dl);
429 }else{
430     epr=(s4*er[z+1][r_]+s3*er[z+2][r_]
431         +s2*er[z+1][r_+1]+s1*er[z+2][r_+1])/(dl*dl);
432 }
433
434 /*磁界計算*/
435 s1=(zp[n]-(z_1-0.5*dl))*(rp[n]-(r_1-0.5*dl));
436 s2=((z_2-0.5*dl)-zp[n])*(rp[n]-(r_1-0.5*dl));
437 s3=(zp[n]-(z_1-0.5*dl))*((r_2-0.5*dl)-rp[n]);
438 s4=((z_2-0.5*dl)-zp[n])*((r_2-0.5*dl)-rp[n]);
439 if((r_==0)&&(z_==0)){
440     hpt=((s1+s2-s3-s4)*hta[1][1])/(dl*dl);
441 }else if(r_==0){
442     hpt=((s2-s4)*hta[z_][1]+(s1-s3)*hta[z_+1][1])/(dl*dl);
443 }else if(z_==0){
444     hpt=((s4+s3)*hta[1][r_]+(s2+s1)*hta[1][r_+1])/(dl*dl);
445 }else{
446     hpt=(s4*hta[z_][r_]+s3*hta[z_+1][r_]
447         +s2*hta[z_][r_+1]+s1*hta[z_+1][r_+1])/(dl*dl);
448 }
449
450 /*運動量計算*/
451 p1z=pzp[n]+q*epz*dt/2.0;
452 p1r=prp[n]+q*epr*dt/2.0;
453
454 p2z=p1z+myu*q*c*p1r*hpt*dt/sqrt(m0*m0*c*c+p1z*p1z+p1r*p1r);
455 p2r=p1r-myu*q*c*p1z*hpt*dt/sqrt(m0*m0*c*c+p1z*p1z+p1r*p1r);
456
457 pzp[n]=p2z+q*epz*dt/2.0;
458 prp[n]=p2r+q*epr*dt/2.0;
459 }
460
461 return;
462 }
463
464 /*座標計算*/
465 void position (void)
466 {
467
468     int n;
469
470     for(n=1;n<=npt;n++){
471         zpb[n]=zp[n];
472         rpb[n]=rp[n];
473
474         zp[n]+=c*pzp[n]*dt/sqrt(m0*m0*c*c+pzp[n]*pzp[n]+prp[n]*prp[n]);
475         rp[n]+=c*prp[n]*dt/sqrt(m0*m0*c*c+pzp[n]*pzp[n]+prp[n]*prp[n]);

```

```

476     if (zp[n]>=lb+ld-nd*d1/5.0){
477         flag=1;
478     }
479 }
480 }
481
482 return;
483
484 }
485
486 /*電流計算*/
487 void current (void)
488 {
489     int n,i,j;
490     int i1,j1,i2,j2,i11,j11,i22,j22;
491     double zrp,rrp;
492     double wi,wj,wi1,wi2,wi3,wj1,wj2,wj3;
493     double fz1,fz2,fr1,fr2;
494     double vz1,vz2,vr1,vr2;
495
496     /*0に初期化*/
497     for (i=0;i<=nz+2*nd+2;i++){
498         for (j=0;j<=nr+3;j++){
499             jz[i][j]=0.0;
500         }
501     }
502     for (i=0;i<=nz+2*nd+3;i++){
503         for (j=0;j<=nr+2;j++){
504             jr[i][j]=0.0;
505         }
506     }
507 }
508
509 for (n=1;n<=npt;n++){
510
511     i1=(int)(zpb[n]/d1);
512     i2=(int)(zp[n]/d1);
513     j1=(int)(rpb[n]/d1);
514     j2=(int)(rp[n]/d1);
515
516     /*relay pointの設定*/
517     if (i1==i2){
518         zrp=(zpb[n]+zp[n])/2.0;
519     }else{
520         if (i1>i2){
521             zrp=i1*d1;
522         }else{
523             zrp=i2*d1;
524         }
525     }
526     if (j1==j2){
527         rrp=(rpb[n]+rp[n])/2.0;
528     }else{
529         if (j1>j2){
530             rrp=j1*d1;
531         }else{
532             rrp=j2*d1;
533         }
534     }
535
536     /*from(z1,r1)to(zr,rr)*/

```

```

537
538 i11=(int)(zpb[n]/dl+0.5);
539 j11=(int)(rpb[n]/dl+0.5);
540
541 /* velocity*/
542 vz1=(zrp-zpb[n])/dt;
543 vr1=(rrp-rpb[n])/dt;
544
545 /* first-order shape factor*/
546 wi=(zpb[n]+zrp)/(2*dl)-i11;
547 wj=(rpb[n]+rrp)/(2*dl)-j11;
548
549 /* charge flux*/
550 fz1=qp[n]*vz1*(0.5-wi);
551 fz2=qp[n]*vz1*(0.5+wi);
552 fr1=qp[n]*vr1*(0.5-wj);
553 fr2=qp[n]*vr1*(0.5+wj);
554
555 /* second-order shape factor*/
556 wi1=0.5*pow((0.5-wi),2);
557 wi2=0.75-pow(wi,2);
558 wi3=0.5*pow((0.5+wi),2);
559 wj1=0.5*pow((0.5-wj),2);
560 wj2=0.75-pow(wj,2);
561 wj3=0.5*pow((0.5+wj),2);
562
563 /* current density*/
564 if(j11==0){
565     if(i11==0){
566         jz[1][2]+=(fz1+fz2)*(wj1+wj3)/(M_PI*dl*dl*2.0*dl);
567         jz[1][1]+=(fz1+fz2)*wj2/(M_PI*0.25*dl*dl*dl);
568         jr[2][1]-=(fr2-fr1)*wi1/(M_PI*dl*dl*dl);
569         jr[1][1]+=(fr1-fr2)*wi2/(M_PI*dl*dl*dl);
570     } else if(i11==nz+2*nd-1){
571         jz[nz+2*nd-1][2]+=(fz1+fz2)*(wj1+wj3)/(M_PI*dl*dl*2.0*dl);
572         jz[nz+2*nd-1][1]+=(fz1+fz2)*wj2/(M_PI*0.25*dl*dl*dl);
573         jr[nz+2*nd-1][1]-=(fr2-fr1)*wi3/(M_PI*dl*dl*dl);
574         jr[nz+2*nd][1]+=(fr1-fr2)*wi2/(M_PI*dl*dl*dl);
575     } else{
576         jz[i11][2]+=(fz1*(wj1+wj3))/(M_PI*dl*dl*2.0*dl);
577         jz[i11][1]+=(fz1*wj2)/(M_PI*0.25*dl*dl*dl);
578         jz[i11+1][2]+=(fz2*(wj1+wj3))/(M_PI*dl*dl*2.0*dl);
579         jz[i11+1][1]+=(fz2*wj2)/(M_PI*0.25*dl*dl*dl);
580     }
581     jr[i11][1]+=(fr2-fr1)*wi1/(M_PI*dl*dl*dl);
582     jr[i11+1][1]+=(fr2-fr1)*wi2/(M_PI*dl*dl*dl);
583     jr[i11+2][1]+=(fr2-fr1)*wi3/(M_PI*dl*dl*dl);
584 } else if(j11==1){
585     if(i11==0){
586         jz[1][1]+=(fz1+fz2)*wj1/(M_PI*0.25*dl*dl*dl);
587         jz[1][2]+=(fz1+fz2)*wj2/(M_PI*dl*dl*2.0*dl);
588         jz[1][3]+=(fz1+fz2)*wj3/(M_PI*dl*dl*4.0*dl);
589         jr[2][1]-=fr1*wi1/(M_PI*dl*dl*dl);
590         jr[1][1]-=fr1*wi2/(M_PI*dl*dl*dl);
591         jr[2][2]-=fr2*wi1/(M_PI*dl*dl*3.0*dl);
592         jr[1][2]-=fr2*wi2/(M_PI*dl*dl*3.0*dl);
593     } else if(i11==nz+2*nd-1){
594         jz[nz+2*nd-1][1]+=(fz1+fz2)*wj1/(M_PI*0.25*dl*dl*dl);
595         jz[nz+2*nd-1][2]+=(fz1+fz2)*wj2/(M_PI*dl*dl*2.0*dl);
596         jz[nz+2*nd-1][3]+=(fz1+fz2)*wj3/(M_PI*dl*dl*4.0*dl);
597         jr[nz+2*nd-1][1]-=fr1*wi3/(M_PI*dl*dl*dl);

```



```

598     jr [nz+2*nd][1] -= fr1 * wi2 / (M_PI * dl * dl * dl);
599     jr [nz+2*nd-1][2] -= fr2 * wi3 / (M_PI * dl * dl * 3.0 * dl);
600     jr [nz+2*nd][2] -= fr2 * wi2 / (M_PI * dl * dl * 3.0 * dl);
601 } else {
602     jz [i11][1] += fz1 * wj1 / (M_PI * 0.25 * dl * dl * dl);
603     jz [i11][2] += fz1 * wj2 / (M_PI * dl * dl * 2.0 * dl);
604     jz [i11][3] += fz1 * wj3 / (M_PI * dl * dl * 4.0 * dl);
605     jz [i11+1][1] += fz2 * wj1 / (M_PI * 0.25 * dl * dl * dl);
606     jz [i11+1][2] += fz2 * wj2 / (M_PI * dl * dl * 2.0 * dl);
607     jz [i11+1][3] += fz2 * wj3 / (M_PI * dl * dl * 4.0 * dl);
608 }
609 jr [i11][1] += fr1 * wi1 / (M_PI * dl * dl * dl);
610 jr [i11+1][1] += fr1 * wi2 / (M_PI * dl * dl * dl);
611 jr [i11+2][1] += fr1 * wi3 / (M_PI * dl * dl * dl);
612
613 jr [i11][2] += fr2 * wi1 / (M_PI * dl * dl * 3.0 * dl);
614 jr [i11+1][2] += fr2 * wi2 / (M_PI * dl * dl * 3.0 * dl);
615 jr [i11+2][2] += fr2 * wi3 / (M_PI * dl * dl * 3.0 * dl);
616 } else {
617     if (i11 == 0) {
618         jz [1][j11] += (fz1 + fz2) * wj1 / (M_PI * dl * dl * 2.0 * (j11 - 1) * dl);
619         jz [1][j11+1] += (fz1 + fz2) * wj2 / (M_PI * dl * dl * 2.0 * j11 * dl);
620         jz [1][j11+2] += (fz1 + fz2) * wj3 / (M_PI * dl * dl * 2.0 * (j11 + 1) * dl);
621         jr [2][j11] -= fr1 * wi1 / (M_PI * dl * dl * 2.0 * (j11 - 0.5) * dl);
622         jr [1][j11] -= fr1 * wi2 / (M_PI * dl * dl * 2.0 * (j11 - 0.5) * dl);
623         jr [2][j11+1] -= fr2 * wi1 / (M_PI * dl * dl * 2.0 * (j11 + 0.5) * dl);
624         jr [1][j11+1] -= fr2 * wi2 / (M_PI * dl * dl * 2.0 * (j11 + 0.5) * dl);
625     } else if (i11 == nz + 2 * nd - 1) {
626         jz [nz + 2 * nd - 1][j11] += (fz1 + fz2) * wj1 / (M_PI * dl * dl * 2.0 * (j11 - 1) * dl);
627         jz [nz + 2 * nd - 1][j11 + 1] += (fz1 + fz2) * wj2 / (M_PI * dl * dl * 2.0 * j11 * dl);
628         jz [nz + 2 * nd - 1][j11 + 2] += (fz1 + fz2) * wj3 / (M_PI * dl * dl * 2.0 * (j11 + 1) * dl);
629         jr [nz + 2 * nd - 1][j11] -= fr1 * wi3 / (M_PI * dl * dl * 2.0 * (j11 - 0.5) * dl);
630         jr [nz + 2 * nd][j11] -= fr1 * wi2 / (M_PI * dl * dl * 2.0 * (j11 - 0.5) * dl);
631         jr [nz + 2 * nd - 1][j11 + 1] -= fr2 * wi3 / (M_PI * dl * dl * 2.0 * (j11 + 0.5) * dl);
632         jr [nz + 2 * nd][j11 + 1] -= fr2 * wi2 / (M_PI * dl * dl * 2.0 * (j11 + 0.5) * dl);
633     } else {
634         jz [i11][j11] += fz1 * wj1 / (M_PI * dl * dl * 2.0 * (j11 - 1) * dl);
635         jz [i11][j11 + 1] += fz1 * wj2 / (M_PI * dl * dl * 2.0 * j11 * dl);
636         jz [i11][j11 + 2] += fz1 * wj3 / (M_PI * dl * dl * 2.0 * (j11 + 1) * dl);
637         jz [i11 + 1][j11] += fz2 * wj1 / (M_PI * dl * dl * 2.0 * (j11 - 1) * dl);
638         jz [i11 + 1][j11 + 1] += fz2 * wj2 / (M_PI * dl * dl * 2.0 * j11 * dl);
639         jz [i11 + 1][j11 + 2] += fz2 * wj3 / (M_PI * dl * dl * 2.0 * (j11 + 1) * dl);
640         jr [i11 + 1][j11] += fr1 * wi2 / (M_PI * dl * dl * 2.0 * (j11 - 0.5) * dl);
641         jr [i11 + 1][j11 + 1] += fr2 * wi2 / (M_PI * dl * dl * 2.0 * (j11 + 0.5) * dl);
642     }
643     jr [i11][j11] += fr1 * wi1 / (M_PI * dl * dl * 2.0 * (j11 - 0.5) * dl);
644     jr [i11 + 1][j11] += fr1 * wi2 / (M_PI * dl * dl * 2.0 * (j11 - 0.5) * dl);
645     jr [i11 + 2][j11] += fr1 * wi3 / (M_PI * dl * dl * 2.0 * (j11 - 0.5) * dl);
646
647     jr [i11][j11 + 1] += fr2 * wi1 / (M_PI * dl * dl * 2.0 * (j11 + 0.5) * dl);
648     jr [i11 + 1][j11 + 1] += fr2 * wi2 / (M_PI * dl * dl * 2.0 * (j11 + 0.5) * dl);
649     jr [i11 + 2][j11 + 1] += fr2 * wi3 / (M_PI * dl * dl * 2.0 * (j11 + 0.5) * dl);
650 }
651
652 /* from (zr, rr) to (z2, r2) */
653
654 i22 = (int)(zrp / dl + 0.5);
655 j22 = (int)(rrp / dl + 0.5);
656
657 /* velocity */
658 vz2 = (zp[n] - zrp) / dt;

```

```

659     vr2=(rp [n]-rrp)/dt ;
660
661     /* first-order shape factor*/
662     wi=(zrp+zp [n])/(2*dl)-i22 ;
663     wj=(rrp+rp [n])/(2*dl)-j22 ;
664
665     /* charge flux*/
666     fz1=qp [n]*vz2*(0.5-wi) ;
667     fz2=qp [n]*vz2*(0.5+wi) ;
668     fr1=qp [n]*vr2*(0.5-wj) ;
669     fr2=qp [n]*vr2*(0.5+wj) ;
670
671     /* second-order shape factor*/
672     wi1=0.5*pow((0.5-wi),2) ;
673     wi2=0.75-pow(wi,2) ;
674     wi3=0.5*pow((0.5+wi),2) ;
675     wj1=0.5*pow((0.5-wj),2) ;
676     wj2=0.75-pow(wj,2) ;
677     wj3=0.5*pow((0.5+wj),2) ;
678
679     /* current density*/
680     if (j22==0){
681         if (i22==0){
682             jz [1][2]+=(fz1+fz2)*(wj1+wj3)/(M.PI*dl*dl*2.0*dl) ;
683             jz [1][1]+=(fz1+fz2)*wj2/(M.PI*0.25*dl*dl*dl) ;
684             jr [1][1]+=(fr1-fr2)*wi2/(M.PI*dl*dl*dl) ;
685             jr [2][1]-=(fr2-fr1)*wi1/(M.PI*dl*dl*dl) ;
686         } else if (i22==nz+2*nd-1){
687             jz [nz+2*nd-1][2]+=(fz1+fz2)*(wj1+wj3)/(M.PI*dl*dl*2.0*dl) ;
688             jz [nz+2*nd-1][1]+=(fz1+fz2)*wj2/(M.PI*0.25*dl*dl*dl) ;
689             jr [nz+2*nd][1]+=(fr1-fr2)*wi2/(M.PI*dl*dl*dl) ;
690             jr [nz+2*nd-1][1]-=(fr2-fr1)*wi3/(M.PI*dl*dl*dl) ;
691         } else {
692             jz [i22][2]+=fz1*(wj1+wj3)/(M.PI*dl*dl*2.0*dl) ;
693             jz [i22][1]+=fz1*wj2/(M.PI*0.25*dl*dl*dl) ;
694             jz [i22+1][2]+=fz2*(wj1+wj3)/(M.PI*dl*dl*2.0*dl) ;
695             jz [i22+1][1]+=fz2*wj2/(M.PI*0.25*dl*dl*dl) ;
696         }
697         jr [i22][1]+=(fr2-fr1)*wi1/(M.PI*dl*dl*dl) ;
698         jr [i22+1][1]+=(fr2-fr1)*wi2/(M.PI*dl*dl*dl) ;
699         jr [i22+2][1]+=(fr2-fr1)*wi3/(M.PI*dl*dl*dl) ;
700     } else if (j22==1){
701         if (i22==0){
702             jz [1][1]+=(fz1+fz2)*wj1/(M.PI*0.25*dl*dl*dl) ;
703             jz [1][2]+=(fz1+fz2)*wj2/(M.PI*dl*dl*2.0*dl) ;
704             jz [1][3]+=(fz1+fz2)*wj3/(M.PI*dl*dl*4.0*dl) ;
705             jr [2][1]-=fr1*wi1/(M.PI*dl*dl*dl) ;
706             jr [1][1]-=fr1*wi2/(M.PI*dl*dl*dl) ;
707             jr [2][2]-=fr2*wi1/(M.PI*dl*dl*3.0*dl) ;
708             jr [1][2]-=fr2*wi2/(M.PI*dl*dl*3.0*dl) ;
709         } else if (i22==nz+2*nd-1){
710             jz [nz+2*nd-1][1]+=(fz1+fz2)*wj1/(M.PI*0.25*dl*dl*dl) ;
711             jz [nz+2*nd-1][2]+=(fz1+fz2)*wj2/(M.PI*dl*dl*2.0*dl) ;
712             jz [nz+2*nd-1][3]+=(fz1+fz2)*wj3/(M.PI*dl*dl*4.0*dl) ;
713             jr [nz+2*nd-1][1]-=fr1*wi1/(M.PI*dl*dl*dl) ;
714             jr [nz+2*nd][1]-=fr1*wi2/(M.PI*dl*dl*dl) ;
715             jr [nz+2*nd-1][2]-=fr2*wi1/(M.PI*dl*dl*3.0*dl) ;
716             jr [nz+2*nd][2]-=fr2*wi2/(M.PI*dl*dl*3.0*dl) ;
717         } else {
718             jz [i22][1]+=fz1*wj1/(M.PI*0.25*dl*dl*dl) ;
719             jz [i22][2]+=fz1*wj2/(M.PI*dl*dl*2.0*dl) ;

```

```

720     jz [ i22 ][3]+= fz1 *wj3 / (M.PI*d1*d1*4.0*d1);
721     jz [ i22+1][1]+= fz2 *wj1 / (M.PI*0.25*d1*d1*d1);
722     jz [ i22+1][2]+= fz2 *wj2 / (M.PI*d1*d1*2.0*d1);
723     jz [ i22+1][3]+= fz2 *wj3 / (M.PI*d1*d1*4.0*d1);
724 }
725 jr [ i22 ][1]+= fr1 *wi1 / (M.PI*d1*d1*d1);
726 jr [ i22+1][1]+= fr1 *wi2 / (M.PI*d1*d1*d1);
727 jr [ i22+2][1]+= fr1 *wi3 / (M.PI*d1*d1*d1);
728
729 jr [ i22 ][2]+= fr2 *wi1 / (M.PI*d1*d1*3.0*d1);
730 jr [ i22+1][2]+= fr2 *wi2 / (M.PI*d1*d1*3.0*d1);
731 jr [ i22+2][2]+= fr2 *wi3 / (M.PI*d1*d1*3.0*d1);
732 } else {
733     if (i22==0){
734         jz [ 1 ][ j22 ]+= (fz1+fz2) *wj1 / (M.PI*d1*d1*2.0*(j22-1)*d1);
735         jz [ 1 ][ j22+1 ]+= (fz1+fz2) *wj2 / (M.PI*d1*d1*2.0*j22*d1);
736         jz [ 1 ][ j22+2 ]+= (fz1+fz2) *wj3 / (M.PI*d1*d1*2.0*(j22+1)*d1);
737         jr [ 2 ][ j22 ]-= fr1 *wi1 / (M.PI*d1*d1*2.0*(j22-0.5)*d1);
738         jr [ 1 ][ j22 ]-= fr1 *wi2 / (M.PI*d1*d1*2.0*(j22-0.5)*d1);
739         jr [ 2 ][ j22+1 ]-= fr2 *wi1 / (M.PI*d1*d1*2.0*(j22+0.5)*d1);
740         jr [ 1 ][ j22+1 ]-= fr2 *wi2 / (M.PI*d1*d1*2.0*(j22+0.5)*d1);
741     } else if (i22==nz+2*nd-1){
742         jz [ nz+2*nd-1 ][ j22 ]+= (fz1+fz2) *wj1 / (M.PI*d1*d1*2.0*(j22-1)*d1);
743         jz [ nz+2*nd-1 ][ j22+1 ]+= (fz1+fz2) *wj2 / (M.PI*d1*d1*2.0*j22*d1);
744         jz [ nz+2*nd-1 ][ j22+2 ]+= (fz1+fz2) *wj3 / (M.PI*d1*d1*2.0*(j22+1)*d1);
745         jr [ nz+2*nd-1 ][ j22 ]-= fr1 *wi3 / (M.PI*d1*d1*2.0*(j22-0.5)*d1);
746         jr [ nz+2*nd ][ j22 ]-= fr1 *wi2 / (M.PI*d1*d1*2.0*(j22-0.5)*d1);
747         jr [ nz+2*nd-1 ][ j22+1 ]-= fr2 *wi3 / (M.PI*d1*d1*2.0*(j22+0.5)*d1);
748         jr [ nz+2*nd ][ j22+1 ]-= fr2 *wi2 / (M.PI*d1*d1*2.0*(j22+0.5)*d1);
749     } else {
750         jz [ i22 ][ j22 ]+= fz1 *wj1 / (M.PI*d1*d1*2.0*(j22-1)*d1);
751         jz [ i22 ][ j22+1 ]+= fz1 *wj2 / (M.PI*d1*d1*2.0*j22*d1);
752         jz [ i22 ][ j22+2 ]+= fz1 *wj3 / (M.PI*d1*d1*2.0*(j22+1)*d1);
753         jz [ i22+1 ][ j22 ]+= fz2 *wj1 / (M.PI*d1*d1*2.0*(j22-1)*d1);
754         jz [ i22+1 ][ j22+1 ]+= fz2 *wj2 / (M.PI*d1*d1*2.0*j22*d1);
755         jz [ i22+1 ][ j22+2 ]+= fz2 *wj3 / (M.PI*d1*d1*2.0*(j22+1)*d1);
756         jr [ i22+1 ][ j22 ]+= fr1 *wi2 / (M.PI*d1*d1*2.0*(j22-0.5)*d1);
757         jr [ i22+1 ][ j22+1 ]+= fr2 *wi2 / (M.PI*d1*d1*2.0*(j22+0.5)*d1);
758     }
759     jr [ i22 ][ j22 ]+= fr1 *wi1 / (M.PI*d1*d1*2.0*(j22-0.5)*d1);
760     jr [ i22+1 ][ j22 ]+= fr1 *wi2 / (M.PI*d1*d1*2.0*(j22-0.5)*d1);
761     jr [ i22+2 ][ j22 ]+= fr1 *wi3 / (M.PI*d1*d1*2.0*(j22-0.5)*d1);
762
763     jr [ i22 ][ j22+1 ]+= fr2 *wi1 / (M.PI*d1*d1*2.0*(j22+0.5)*d1);
764     jr [ i22+1 ][ j22+1 ]+= fr2 *wi2 / (M.PI*d1*d1*2.0*(j22+0.5)*d1);
765     jr [ i22+2 ][ j22+1 ]+= fr2 *wi3 / (M.PI*d1*d1*2.0*(j22+0.5)*d1);
766 }
767
768 /*座標修正*/
769 double rr;
770 if (zp [n]>z_max+ld+d1*nz*0.05){
771     n_over++;
772     if (n_over>=npt){
773         npt=0;
774     }
775 }
776 if (rp [n]>r_max){
777     rp [n]=r_max;
778 } else if (rp [n]<0.0){
779     rp [n]=fabs (rp [n]);
780     prp [n]=-prp [n];

```

```

781     }
782 }
783
784 return;
785
786 }
787
788 /*電場計算*/
789 void efield (void)
790 {
791     int i, j;
792
793     for (i=1; i<=nz+2*nd-1; i++){
794         ez[i][1]+=(4.0*ht[i][1]/dl-jz[i][1])*dt/eps;
795         if (i<=nd){
796             ez[i][1]*=(1-pow((ld-(i-0.5)*dl)/ld, 2));
797         } else if (i>=nz+nd){
798             ez[i][1]*=(1-pow(((i-0.5)*dl-ld-z_max)/ld, 2));
799         }
800     }
801     for (i=1; i<=nz+2*nd-1; i++){
802         for (j=2; j<=nr-1; j++){
803             if (f[i][j]==0||f[i+1][j]==0){
804                 ez[i][j]+=((ht[i][j]*(j-0.5)-ht[i][j-1]*(j-1.5))
805                     /(dl*(j-1.0))-jz[i][j])*dt/eps;
806                 if (i<=nd){
807                     ez[i][j]*=(1-pow((ld-(i-0.5)*dl)/ld, 2));
808                 } else if (i>=nz+nd){
809                     ez[i][j]*=(1-pow(((i-0.5)*dl-ld-z_max)/ld, 2));
810                 }
811             }
812         }
813     }
814
815     for (i=2; i<=nz+2*nd-1; i++){
816         for (j=1; j<=nr-1; j++){
817             if (f[i][j]==0||f[i][j+1]==0){
818                 er[i][j]+=((ht[i-1][j]-ht[i][j])/dl-jr[i][j])*dt/eps;
819                 if (i<=nd){
820                     er[i][j]*=(1-pow((ld-(i-1)*dl)/ld, 2));
821                 } else if (i>=nz+nd){
822                     er[i][j]*=(1-pow(((i-1)*dl-ld-z_max)/ld, 2));
823                 }
824             }
825         }
826     }
827
828     return;
829 }
830
831 /*電子放出*/
832 void emission (void)
833 {
834     npt+=p_emission;
835
836     return;
837 }

```